

(19) (KR)  
(12) (A)

(51) . Int. Cl.<sup>7</sup>

C08G 64/08

C08G 64/20

C08G 64/16

H05B 33/22

(11)

10-2005-0006210

(43)

2005 01 15

(21) 10-2004-7017402

(22) 2004 10 28

2004 10 28

(86) PCT/US2003/009615

(87)

WO 2003/093897

(86) 2003 03 31

(87)

2003 11 13

(30) 10/134,050 2002 04 29 (US)

(71)

, ,

(72)

47712 5629

12019 7

47711 638

47630 3322

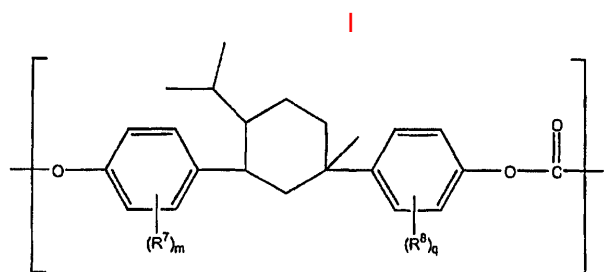
01226 46

47712 6500

(74)

:

(54)

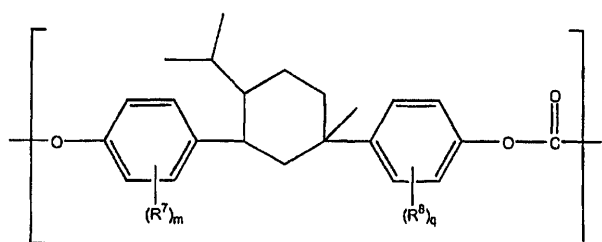


I 3가 R , S ,  
R<sup>7</sup> R<sup>8</sup> C<sub>1</sub>-C<sub>6</sub> ,  
m 1 4 ,  
q 1 4 .  
I 가 .

a) 1 2  
b) ;  
c) 2 2

(a) | ;  
(b) , 2

## 1 BHPM - PC (%)



3가 R , S

R 7 R 8 C 1 - C 6



가 LD . OELD . | . . . UV IR (EL) . . . OE

Al-Li, In-Mg, Al-Ca, LiF, 2, (1, 10nm), Ag-Mg, Ca, (LiF)

ELD (ITO), , , , , ,

EM

EL

EL

1

( -n- ), ( -n- ), ( -n- ), ( ) { (p - ) , [H. Suzuki et al., 'Near-Ultraviolet Electroluminescence From Polysilanes', 331 Thin Solid Films 64-70(1998)] . 320 420nm

320 420nm

가

가

( 500nm , ( 2000 ) ) 100nm

3.4.9.10 -

,  
5,998,803

) - p -

(1,3 -

가

6,023,371

3

가

가

6.023.371

(8 -

. QELD

가

가

가

1

1, 3- (4- )  
BPA -  
1

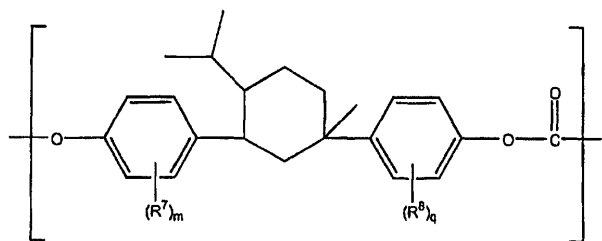
[ 1 ]

특성	BPA-PC	BHPM-PC
굴절률	1.585	1.555
광탄성계수(브루스터)	약 80	약 70
유리 전이 온도	145°C	235°C

, BHPM-PC 1 (%)

(57)

1.



3가

R

S

R 7 R 8 C 1 - C 6 ,

m 1 4 ,

q 1 4 .

2.

1 ,

R 7 R 8 , m 4 , q가 4 .

3.

1 ,

235

4.

1 ,

4% (haze)

5.

1 ,

3%

6.

1 ,

가

7.

1 ,

가

8.

1 ,

1

9.

8 ,

,

10.

1 ,

1

11.

10 ,

, , , , , ,

1

12.

11

가

1

13.

12

가

1

14.

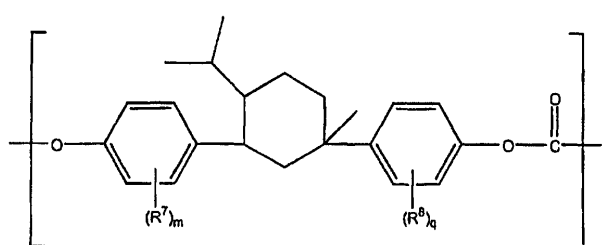
1

1

1

1

1



1

3가

R

, S

,

R 7 R 8

,

m 4

,

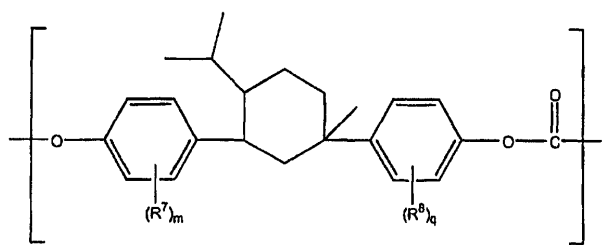
q 4

15.

1

:

1



1

3가

R

, S

,

R 7 R 8 C 1 -C 6

m 1 4

,

q 1 4

**16.**

15

R 7 R 8 , m 4 , q 가 4

**17.**

15

235

**18.**

15

4%

**19.**

15

3%

**20.**

15

가

**21.**

15

가

**22.**

15

1

가

**23.**

22

,

**24.**

15

1

가

**25.**

24

, , , , , , ,

1

**26.**

25

1

가

27.

26

, ,

28.

a)

I

2

;

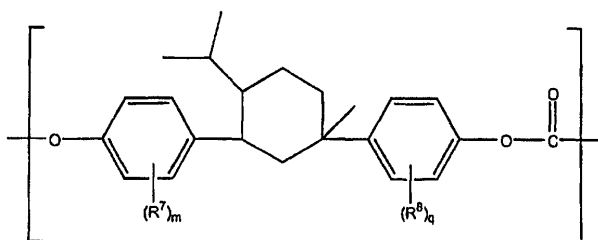
b)

;

c) 2

2

I



,

3가

R

, S

,

R<sup>7</sup> R<sup>8</sup> C<sub>1</sub>-C<sub>6</sub>

m 1 4

q 1 4

29.

28

,

R<sup>7</sup> R<sup>8</sup> , m 4 , q 4

30.

28

,

235

31.

28

,

4%

32.

28

,

(liotropic)

,

,

,

-

**33.**

28

,

3%

**34.**

28

,

, , , , ,

1

**35.**

34

,

, , ,

1

가

**36.**

35

,

, , ,

**37.**

28

,

1

**38.**

37

,

, , ,

1

**39.**

(a)

|

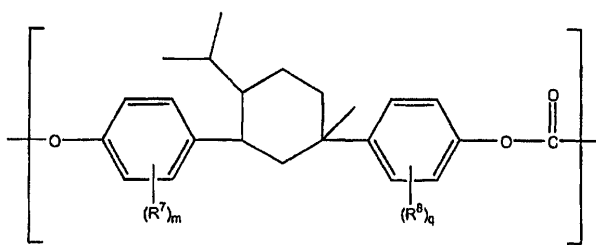
;

(b)

, 2

:

|



,

|

3가

R

, S

,

R<sup>7</sup> R<sup>8</sup> C<sub>1</sub>-C<sub>6</sub>

m 1 4

,

q 1 4

**40.**

39

R 7 R 8 , m 4 , q 가 4

**41.**

39

235

**42.**

39

4%

**43.**

39

3%

**44.**

39

1

**45.**

44

,

1 ,

**46.**

39

,

1

**47.**

46

,

, , , , ,

1

**48.**

47

,

, , , , ,

1

가

**49.**

48

,

**50.**

39

,

$$(n - \dots), \quad (\dots), \quad (\dots), \quad \dots, \quad \dots,$$

52. 39 , 2 가 , ('ITO'), , ,

53. 39 , 2 가 , K, Li, Na, Mg, La, Ce, Ca, Sr, Ba, Al, Ag, In, Sn, Zn, Zr, Sm, Eu,

